

## Homework - 布朗运动

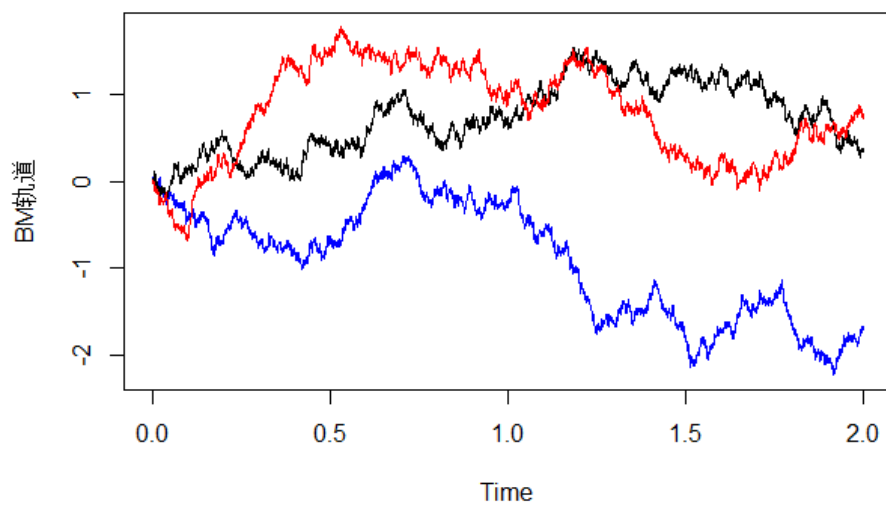
刘彧麟

2022.4.29

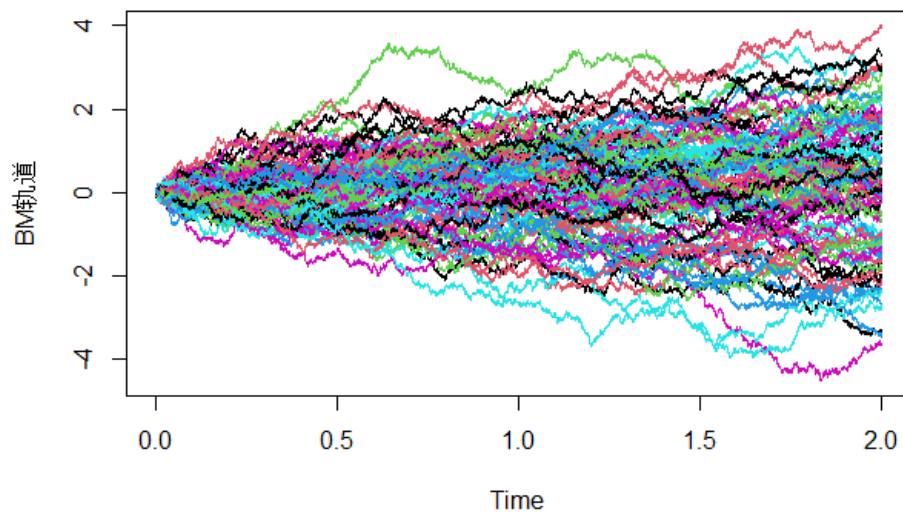
编程语言: R

### T1

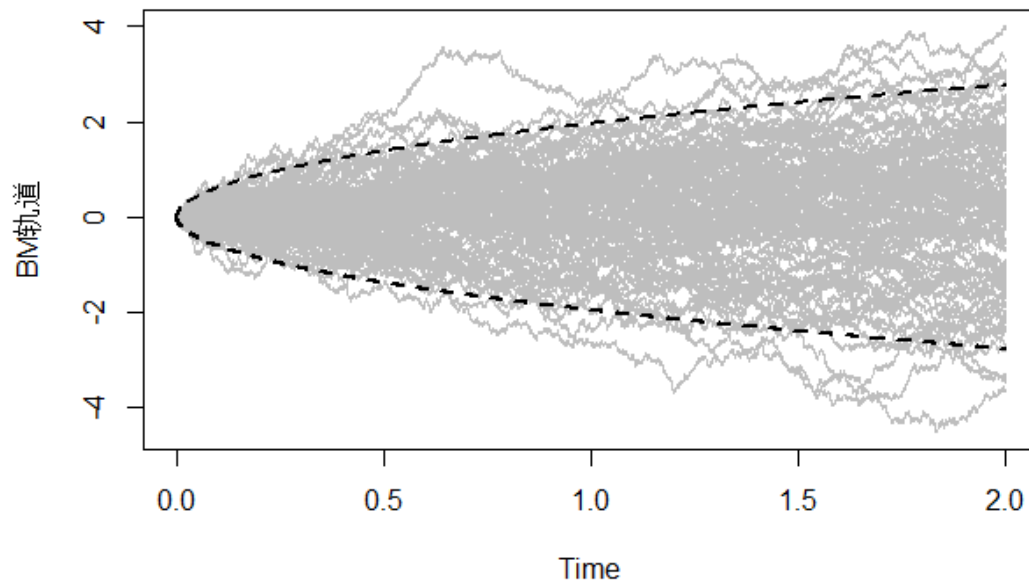
生成三条初始值为 0 的标准布朗运动轨道如下图：



增大值 200 条：



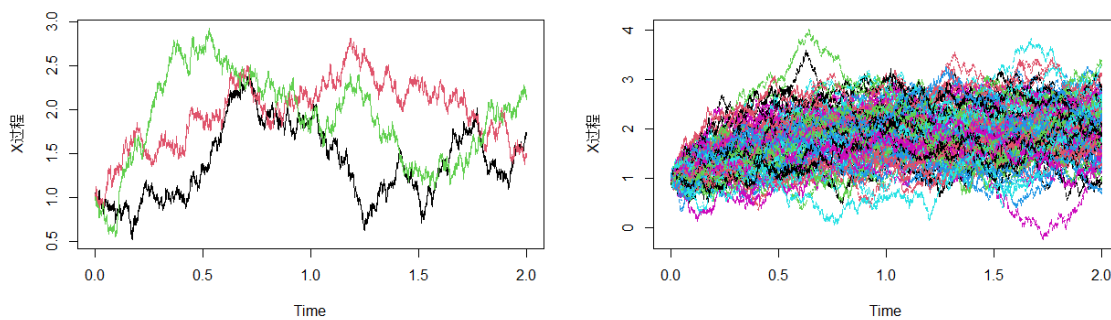
可以看到其分布大约在一个抛物线区间内，这和正态分布理论一致。给出其正态95%的置信区间 $x = \pm 1.96\sqrt{t}$ 的边界轨道：



## T2

### (1)

首先取  $\alpha = 2, \nu = 2, \sigma = 1, x_0 = 1$  生成 3 条和 200 条的轨道如下图：

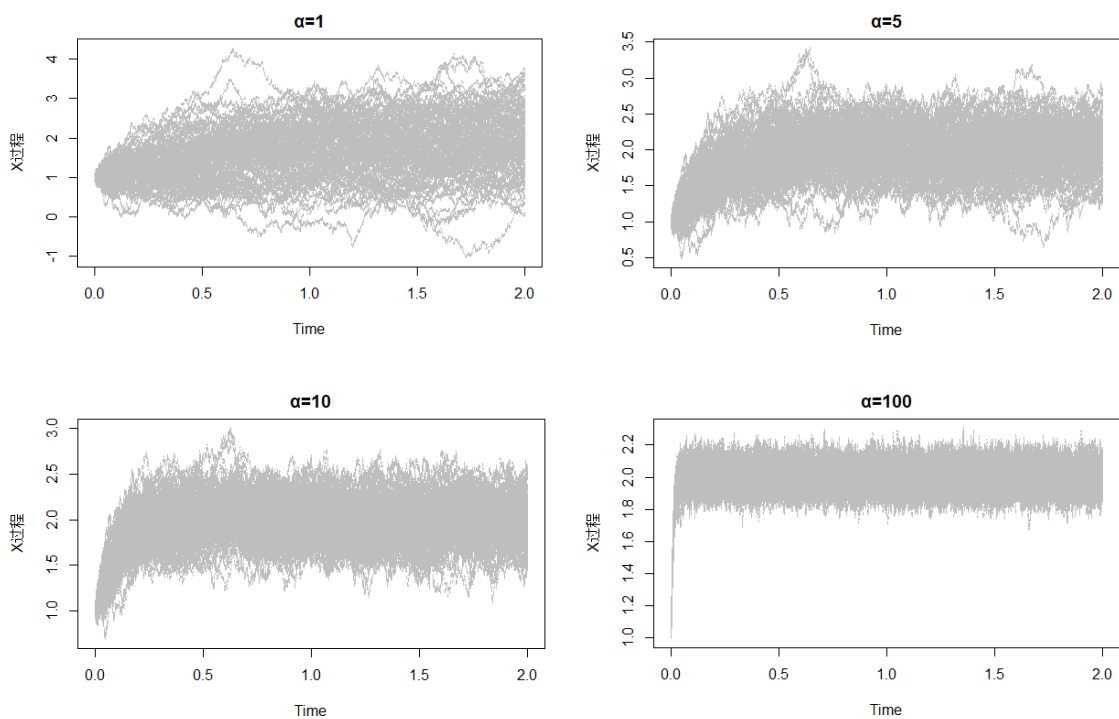


### (2)

取  $\alpha = 2, \nu = 2, \sigma = 1, x_0 = 1$ ；在此基础上作改变

I.改变 $\alpha$ 值

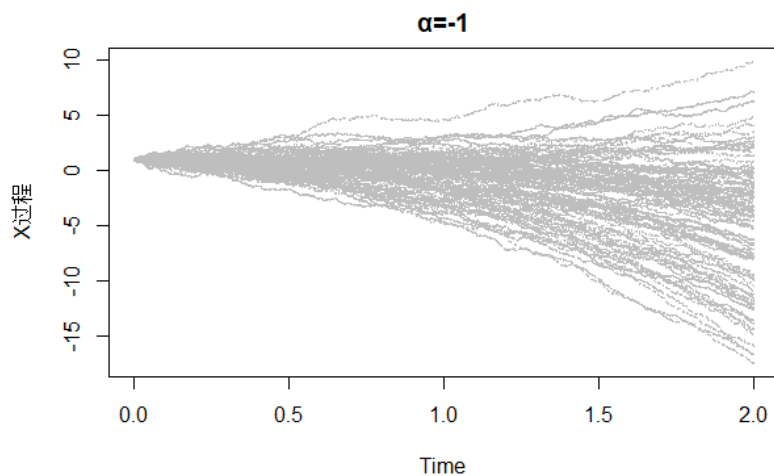
$\alpha > 0$  时：（取值  $\alpha = 1, 5, 10, 100$ ，其余值不变）



随着 $\alpha$ 增大，轨道的非线性性越明显。当 $\alpha$ 足够大，其轨道的平均分布区间快速地趋于一个稳定的范围内，该范围中心不随 $\alpha$ 改变，宽度随 $\alpha$ 减小。

$\alpha = 0$  时， $X_t$ 轨道就是布朗运动；

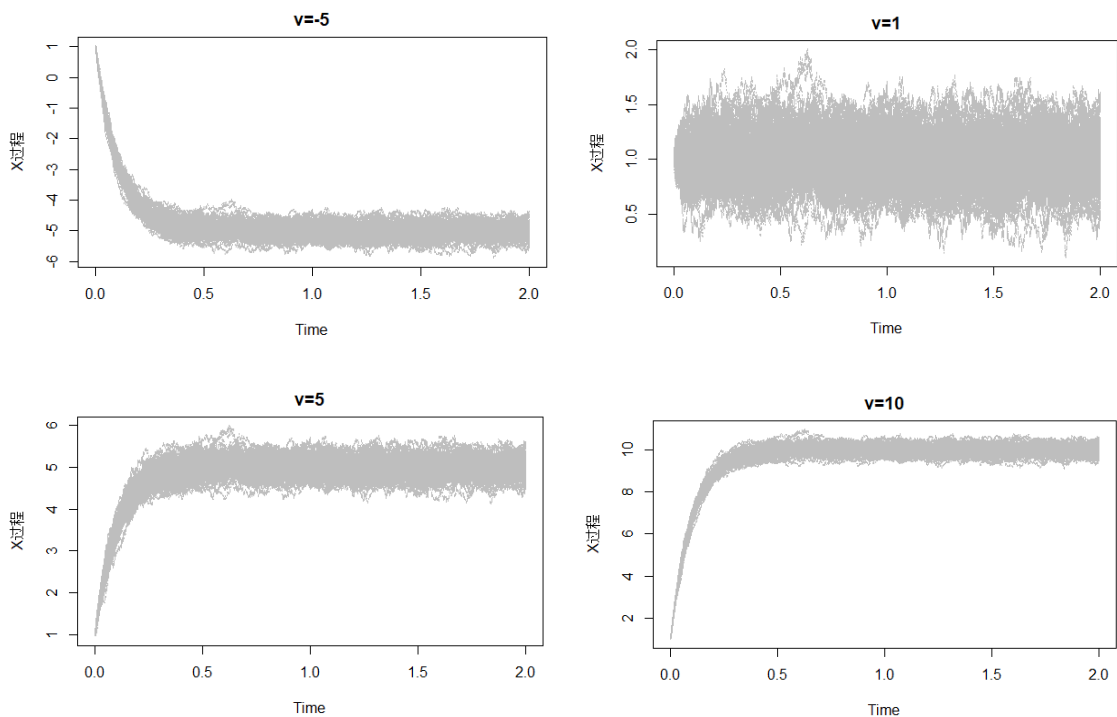
$\alpha < 0$  时，取 $\alpha = -1$



此时轨道并不收敛，而且局部的波动较小。

## II. 改变 $\nu$

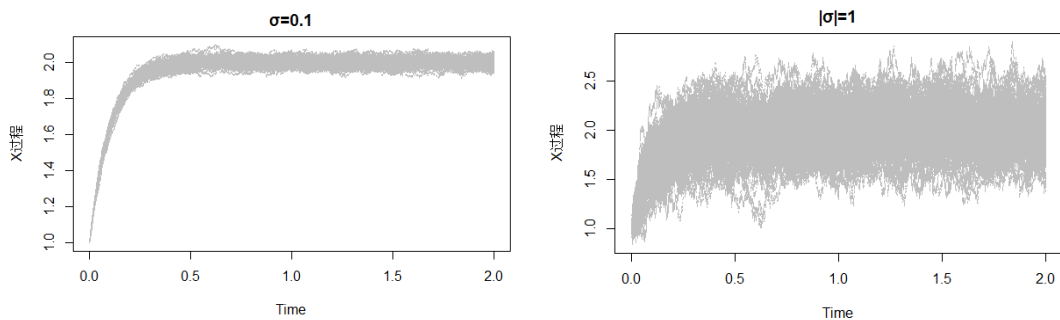
取测试值 $\nu = -5, 1, 5, 10$ , 为便于观察, 取 $\alpha = 10$ :

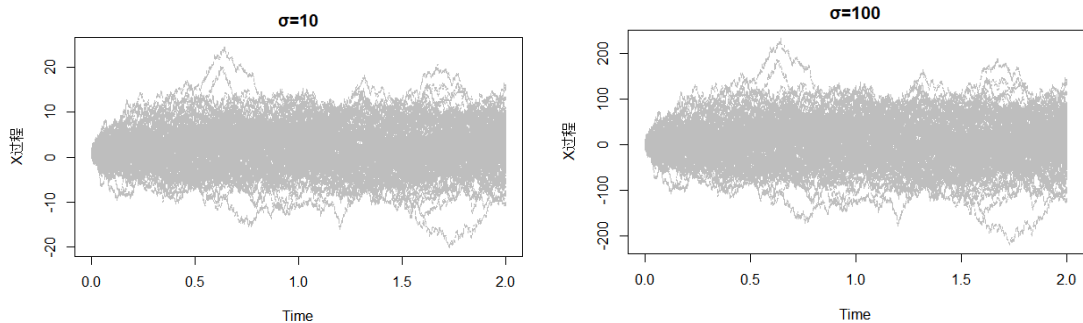


注意到随着 $\nu$ 增大, 轨道的趋近区间的中心位置也在增大, 但是宽度基本不变。特别地, 当 $\nu = x_0 = 1$ 时, 轨道的中心位置大致为定值。根据图像结果, 趋近区间的中心应当就是 $\nu$ 。

## III. 改变 $\sigma$

取测试值 $\sigma = 0.1, -1, 10$ , 为便于观察取 $\alpha = 10$ :

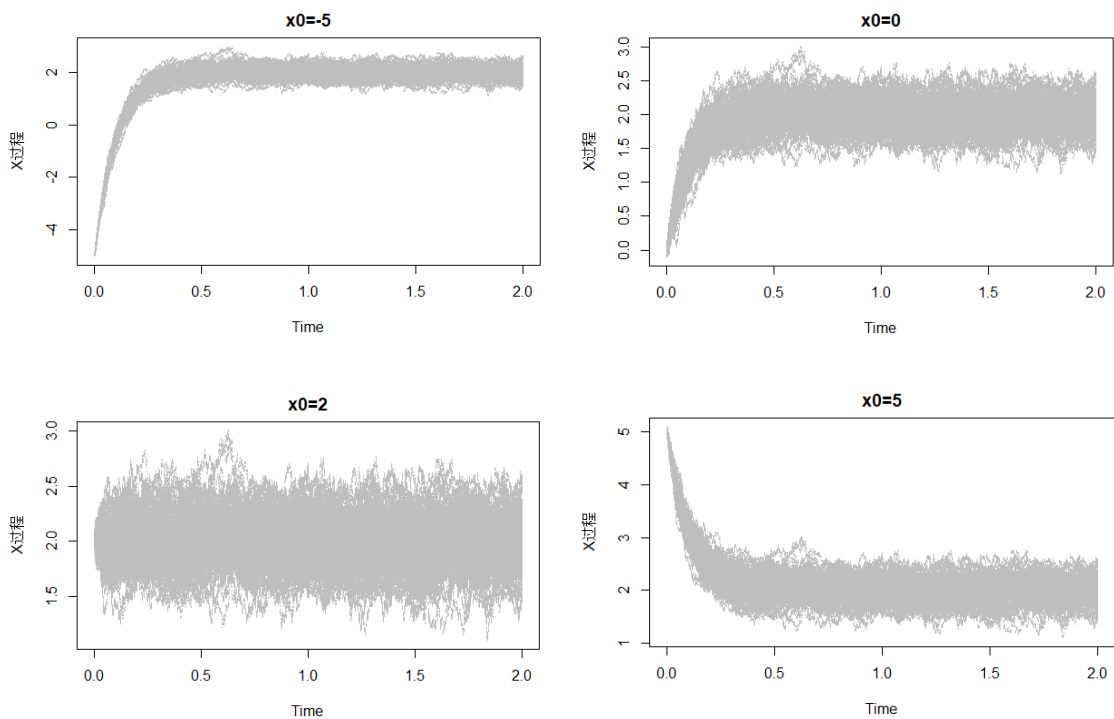




显然随着 $|\sigma|$ 增大，轨道的波动范围越大，但其平均位置不随之改变。

#### IV. 改变 $x_0$

取测试值 $x_0 = -5, 0, 2, 5$ ，为便于观察，取 $\alpha = 10$ ：



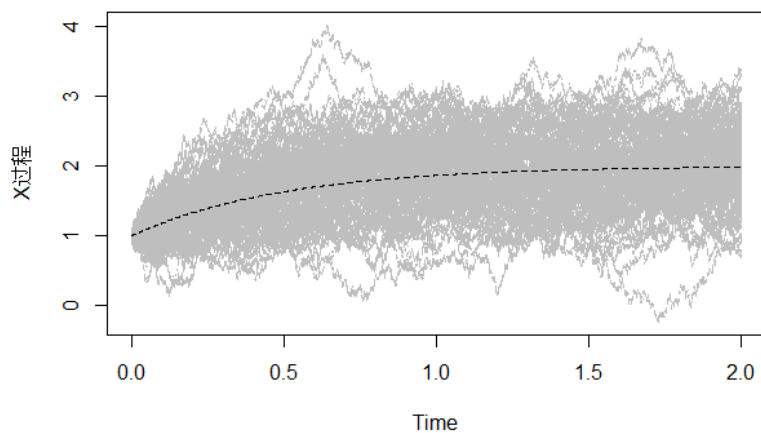
趋近区间的范围的中心和宽度不随初始值改变。

#### 总结：

以上过程对应 $X_t$  ( $\sigma = 0$ )的理论轨道：

$$X_t = v - (v - x_0)e^{-\alpha t}$$

绘制到 $\alpha = 2, v = 2, \sigma = 1, x_0 = 1$  图中所示：



结果是一致的。

### (3)

取  $\alpha = 2, \nu = 2, \sigma = 1, x_0 = 1, N = 200$ :

蒙特卡洛计算  $X_1$  的均值与方差(无偏估计) 均值:

$$EX_1 \approx \frac{1}{N} \sum_i x_{1i}$$

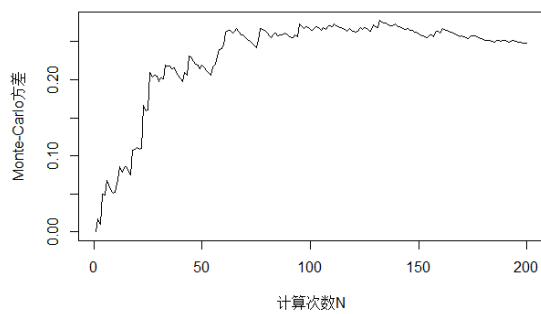
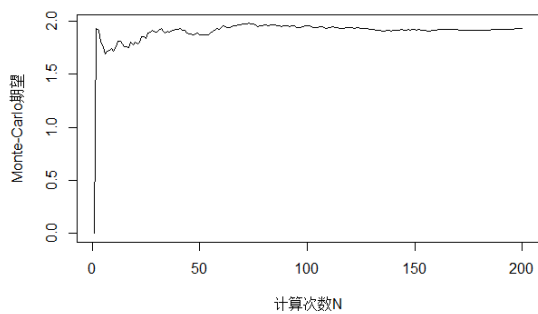
得到结果  $EX_1 \approx 1.92983$ ;

方差:

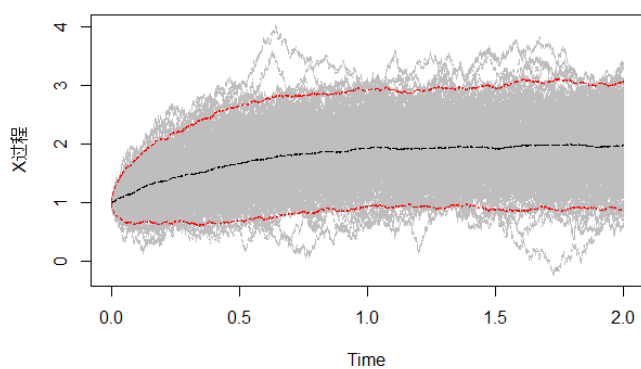
$$DX_1 \approx \frac{1}{N-1} \left( \sum_i x_{1i}^2 - \frac{1}{N} \left( \sum_i x_{1i} \right)^2 \right)$$

得到结果  $DX_1 \approx 0.2477553$

这个估计值随 n 增大基本收敛，如下图



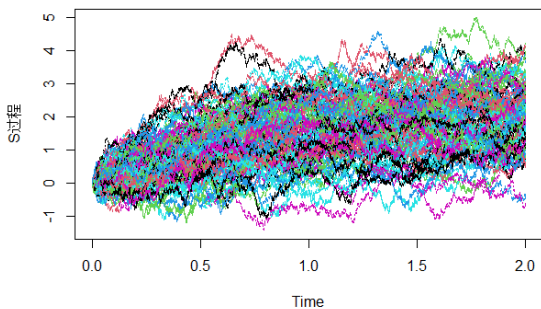
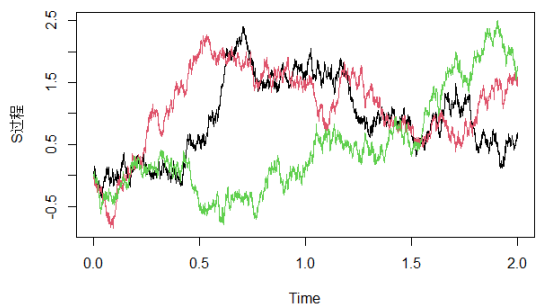
最后绘制出  $2 - \hat{\sigma}$  的置信范围的边界轨道



### T3

#### (1)

首先取  $\alpha = 2, \theta = 2, \nu = 2, \sigma = 1, \hat{\sigma}_2 = 1, \hat{\sigma}_1 = 1, x_0 = 1, s_0 = 0$ ; 生成 3 条和 200 条的轨道如下图

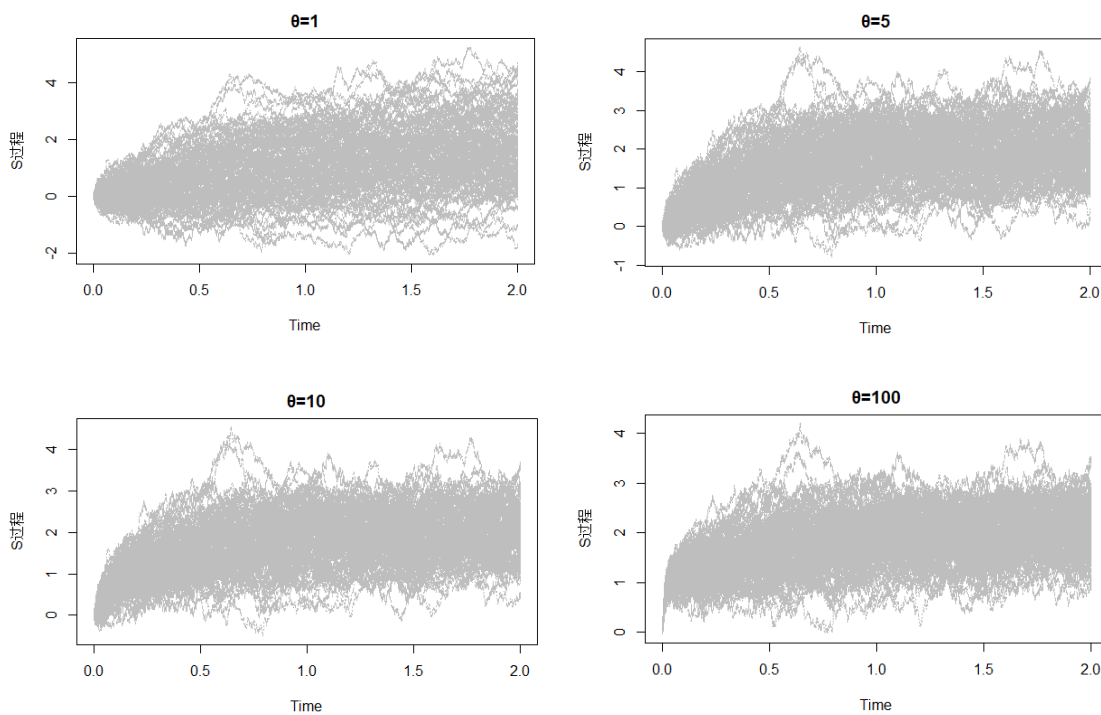


#### (2)

取  $\alpha = 2, \theta = 2, \nu = 2, \sigma = 1, \hat{\sigma}_2 = 1, \hat{\sigma}_1 = 1, x_0 = 1, s_0 = 0$ :

## I. 改变 $\theta$

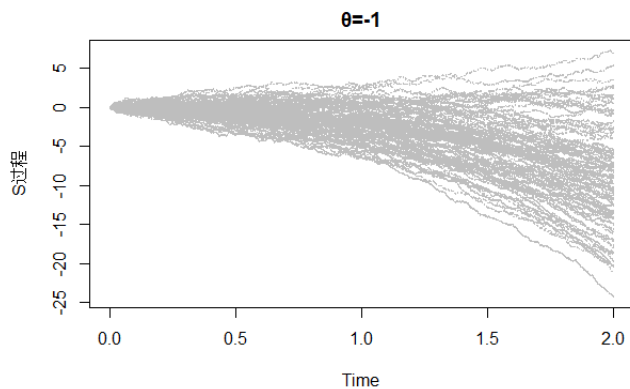
当 $\theta > 0$  时, 取值 $\theta = 1, 5, 10, 100$ :



随着 $\theta$ 的增大,  $\theta$ 前期越快速收敛; 但是和 $X_t$ 不同, 之后似乎仍存在缓慢的变化, 即平均位置暂时并未稳定。

当 $\theta = 0$  时,  $S_t$ 是布朗运动;

当 $\theta < 0$  时, 取值  $\theta = -1$ :



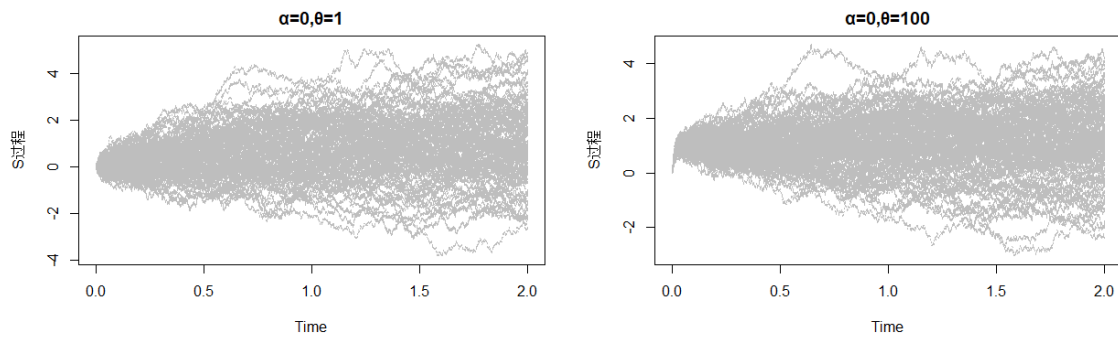
轨道同样不收敛, 且局部波动范围较小。



## II. 改变 $X_t$ 的相关参数

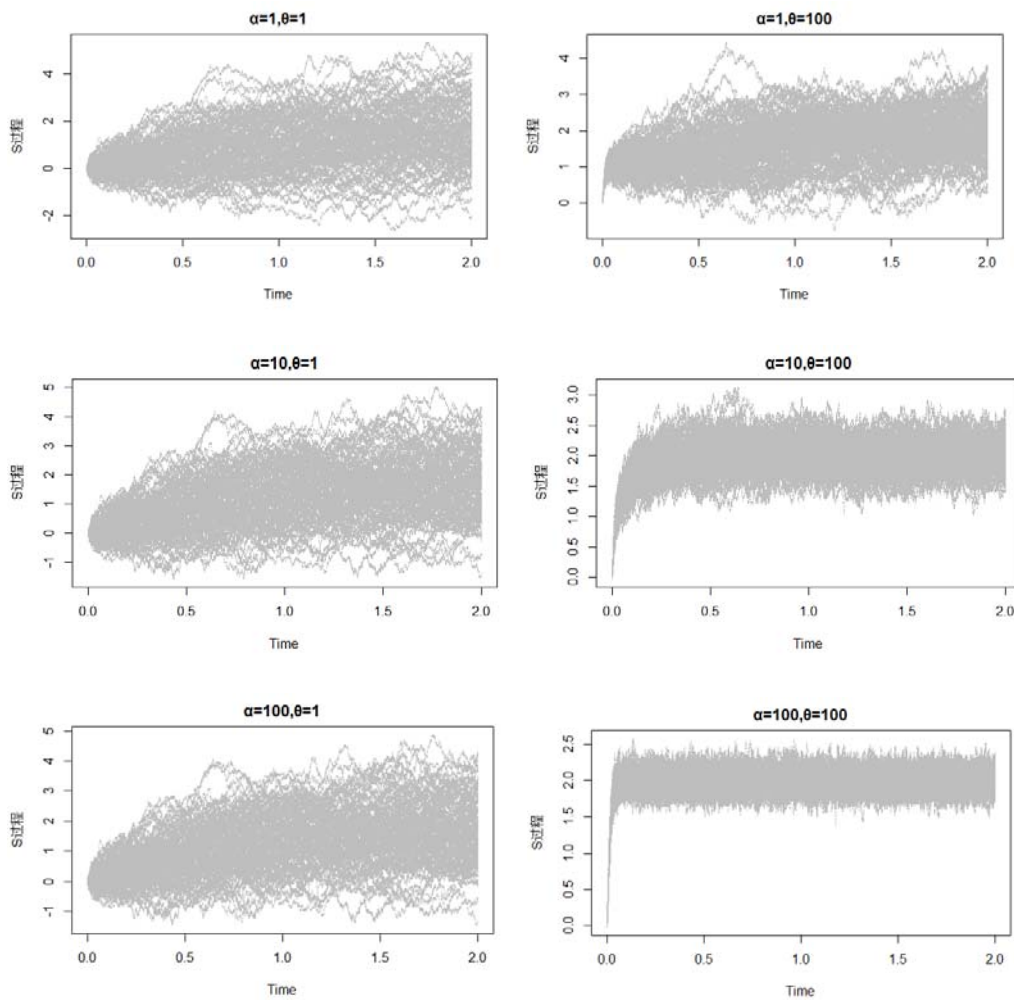
### i. 改变 $\alpha$

当  $\alpha = 0$  时, 分别取  $\theta = 1, 100$ :



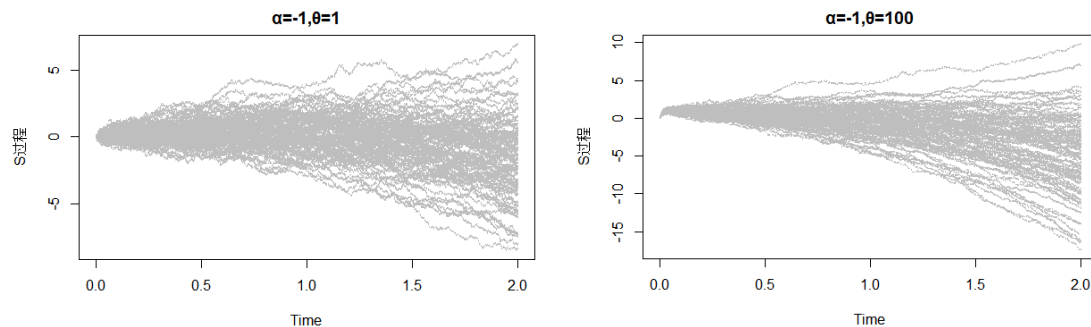
$X_t$  轨道布朗运动, 但是  $S_t$  有所偏移, 具体将就是从初始点  $s_0$  偏移到平均位于  $x_0$  的分布;

当  $\alpha > 0$  时, 取值  $\alpha = 1, 10, 100$ , 分别取  $\theta = 1, 100$ :



当 $\theta$ 较小时，随着 $\alpha$ 增大，轨道的变化并不明显；但 $\theta$ 较大时，随着 $\alpha$ 增大，轨道的中心越快速地收敛到稳定范围，且宽度随之减小。

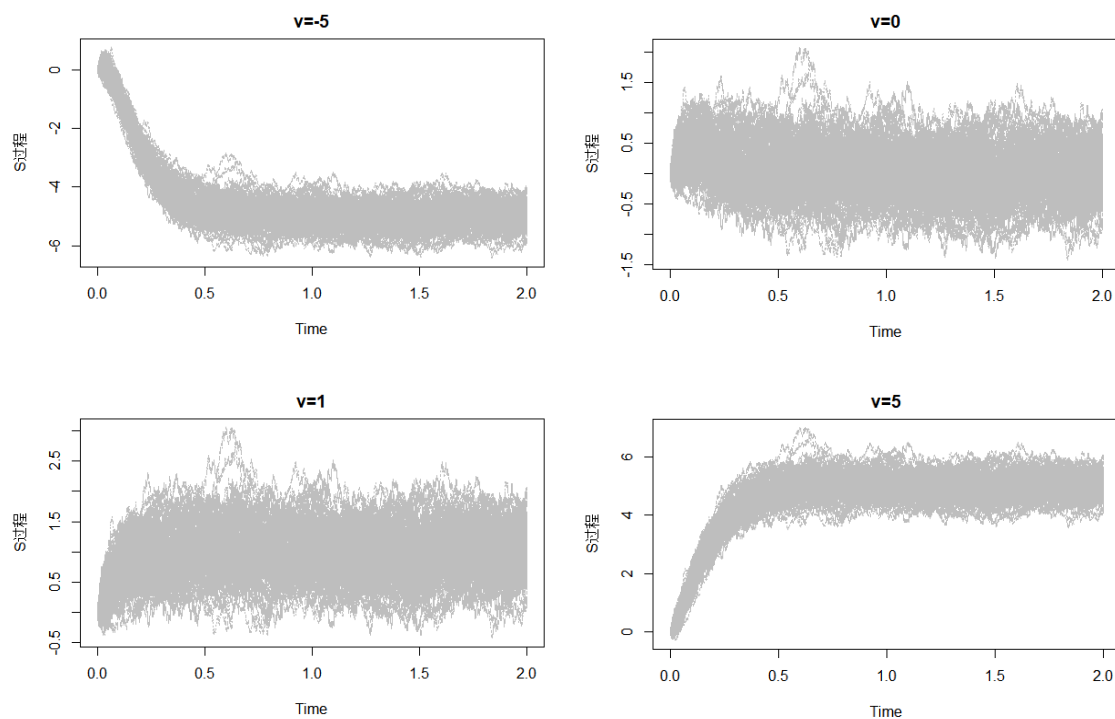
当 $\alpha < 0$  时，取 $\alpha = -1$ ：



此时轨道同样并不收敛，发散速度随 $\theta$ 增大，局部波动比率（即波动除以 y 轴刻度）随 $\theta$ 减小。

## ii. 改变 $\nu$

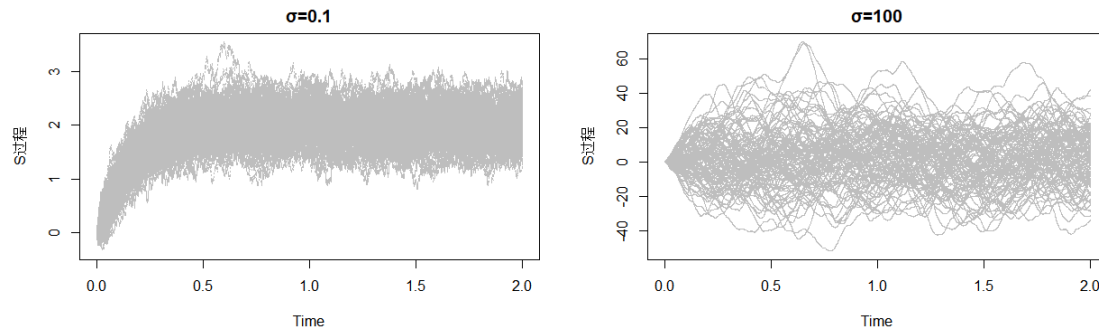
取测试值 $\nu = -5, 0, 1, 5$ ，为便于观察取 $\alpha = 10, \theta = 10$ ：



随着 $\nu$ 增大, 轨道的趋近区间同样也在增大, 其偏移程度也越大。与之前不同, 当 $\nu = s_0 = -1$  时, 轨道的平均位置前期存在一定的波动; 但根据图像结果, 趋近区间的中心同样大致就是 $\nu$ 。

### iii. 改变 $\sigma$

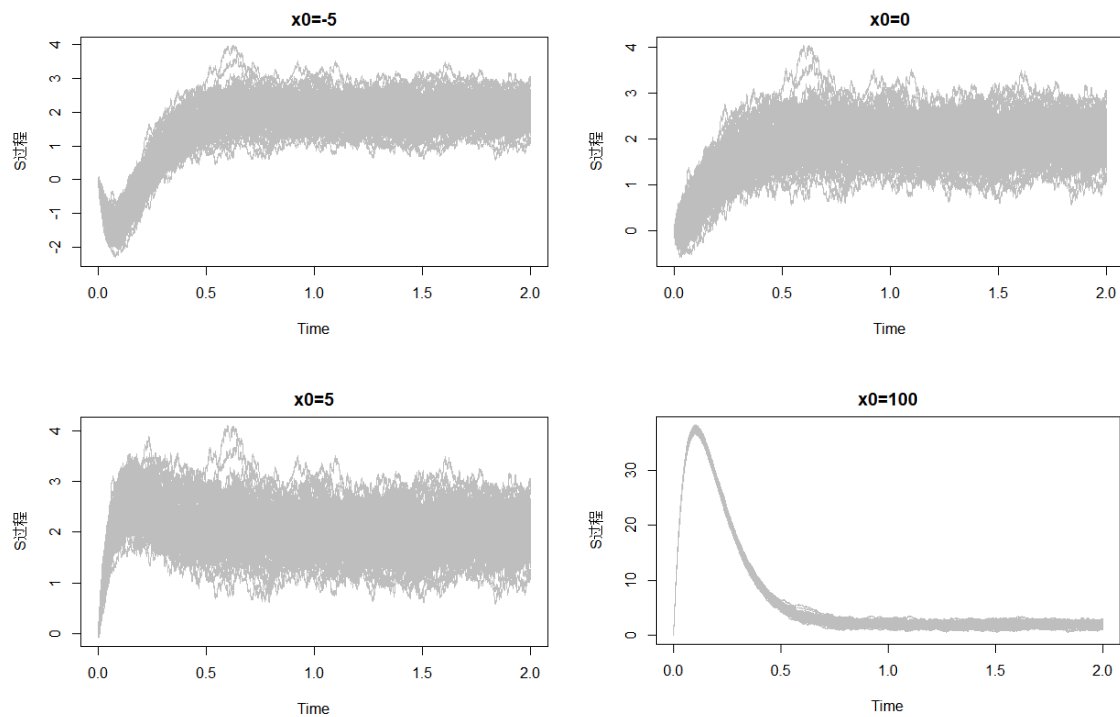
取测试值 $\sigma = 0.1, 100$ , 为便于观察取 $\alpha = \theta = 10$



显然随着 $|\sigma|$ 增大, 轨道的波动范围同样越大, 且平均位置不随之改变。 $\sigma$ 较大时, 单个曲线波动比率并不强烈, 即随着 $\sigma$ 的增大反而显得更加平滑。

### iv. 改变 $x_0$

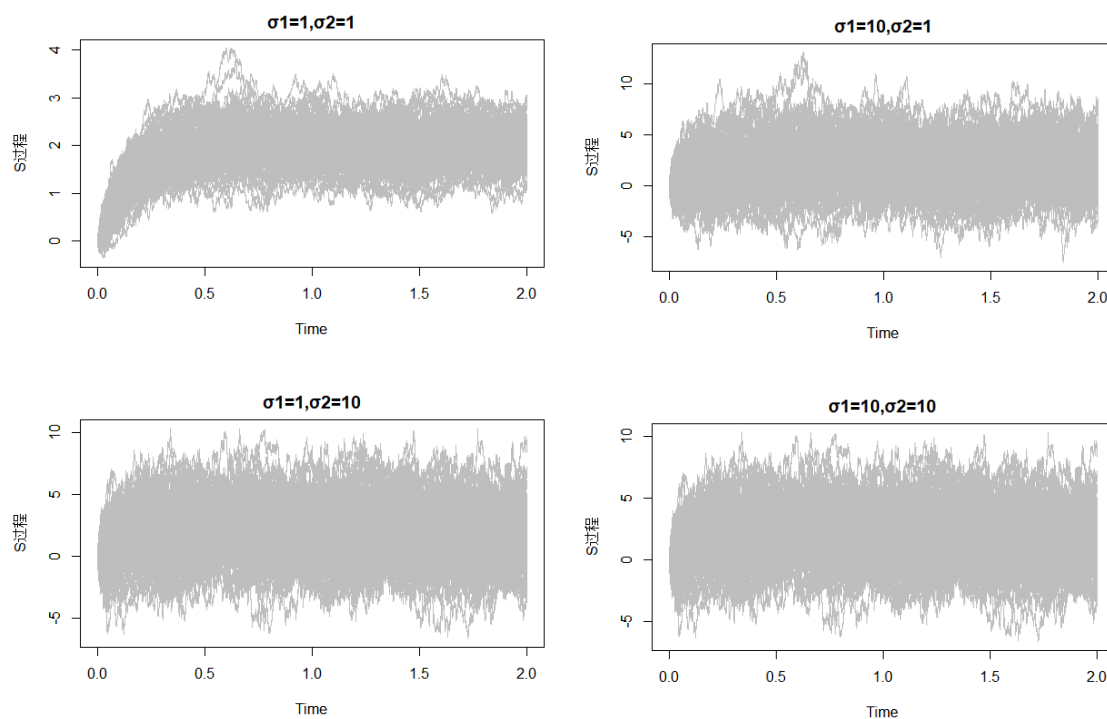
取测试值 $x_0 = -5, 0, 5, 100$ , 为便于观察取 $\alpha = \theta = 10$



很明显，曲线一开始的变化随 $X_0$ 改变，随着 $X_0$ 增大,其初始斜率增大。但是最终稳定的位置不随之变化；因此当 $X_0$ 和 $\nu$ 区别较大时，中心曲线会出现明显的浮动。

### III. 改变 $\hat{\sigma}_1, \hat{\sigma}_2$

取测试值 $\hat{\sigma}_1 = 1, 10, \hat{\sigma}_2 = 1, 10$ , 为便于观察取 $\alpha = \theta = 10$ :

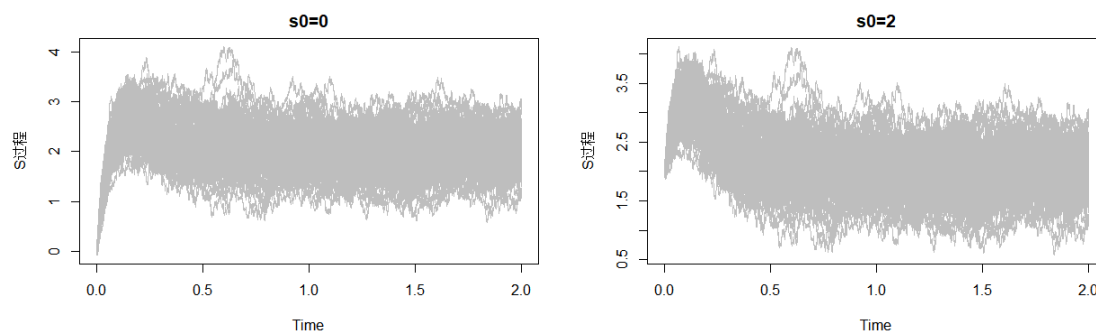


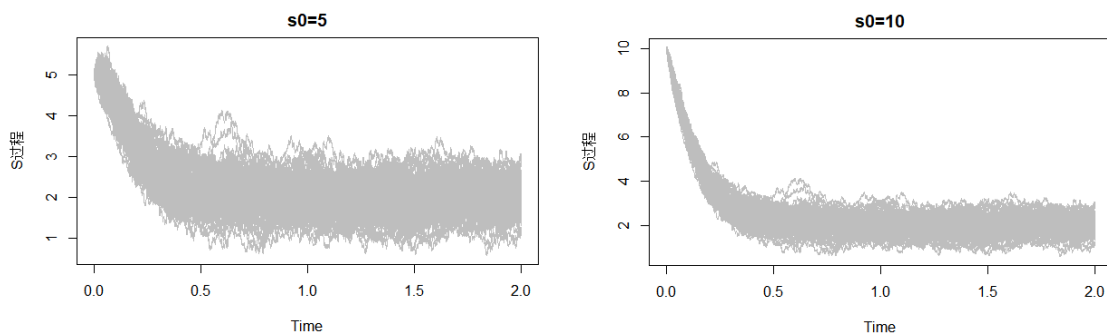
随着 $|\hat{\sigma}|$ 的增大，波动范围越大，但平均位置不改变。

$\hat{\sigma}_1$ 和 $\hat{\sigma}_2$ 的变化对结果的影响基本是对称的，区别只体现在单个曲线上。同时增大和只增大其中之一对图像的影响也不大。

### IV. 改变 $s_0$

取测试值 $s_0 = 0, 2, 5, 10$ , 为便于观察，取 $\alpha = \theta = 10, x_0 = 5$





趋近区间的范围不随之改变，但初始斜率随 $s_0$ 的增大而减小。

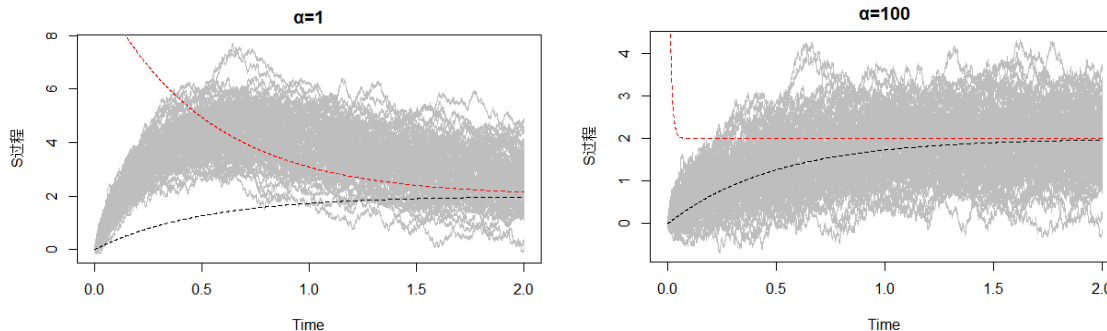
### 总结：

事实上，虽然难以求解 $S_t(\sigma = 0, \hat{\sigma} = 0)$ 的轨道方程,但是 $X_t$ 达到稳定的值 $v$ 时， $S_t$ 的轨道应当趋近于如下轨道 $S_t(X_t = v, \hat{\sigma} = 0)$

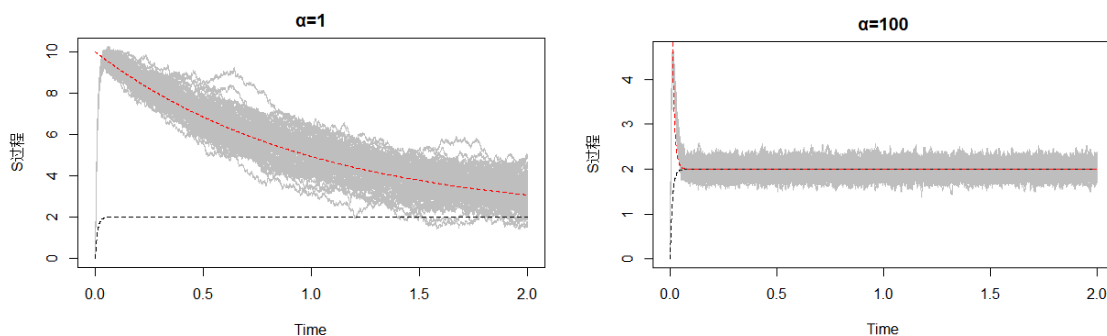
$$S_t = v - (v - s_0)e^{-\theta t}$$

因此最终的位置依然只和 $v$ 有关，收敛速度受 $\theta, \alpha$ 影响。

当 $\alpha$ 较大时， $S_t$ 快速接近于 $S_t(X_t = v, \hat{\sigma} = 0)$ 。如图所示（取 $v = 2, \theta = 2, \sigma = 1, \hat{\sigma}_2 = 1, \hat{\sigma}_1 = 1, x_0 = 10, s_0 = 0$ ，红色虚线为 $X_t(\sigma = 0)$ 的轨道，黑色虚线为该轨道）：



当 $\theta$ 较大时， $S_t$ 快速接近于 $X_t$ 的轨道，此时大致可以描述为从 $s_0$ 到 $x_0$ 再到 $v$ 的轨道，如图所示（取 $\theta = 100$ ）：



当然地，这和之前的结果完全一致。

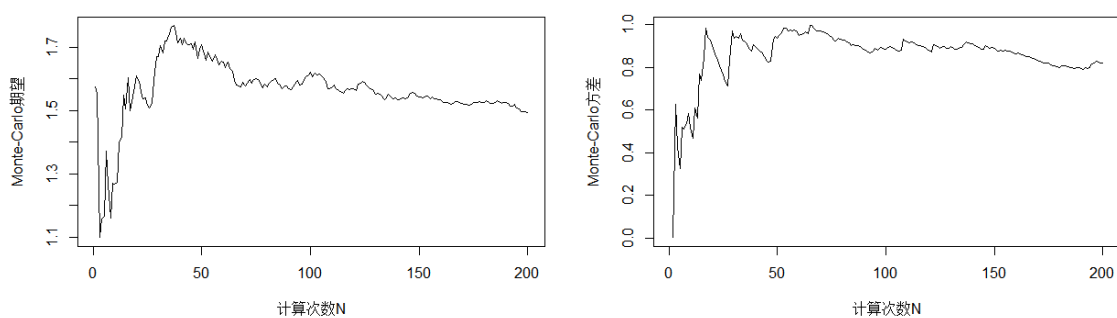
### (3)

取  $\alpha = 2, \theta = 2, \nu = 2, \sigma = 1, \hat{\sigma}_2 = 1, \hat{\sigma}_1 = 1, x_0 = 1, s_0 = 0$ ;

蒙特卡洛计算  $X_1$  的均值与方差(无偏估计)：

均值  $EX_1 \approx 1.493292$ ；方差  $DX_1 \approx 0.8181581$ 。

这个估计值同样随  $n$  增大基本收敛，如图



最后绘制出  $2 - \sigma$  的置信范围的边界轨道

